

杭州应用工程技术学院学报,第 11 卷第 1,2 期,1999 年 6 月

Journal of Hangzhou Institute Applied Engineering

Vol. 11 No. 1,2, June 1999

地震信号的能量维数及其在油气勘探中的应用

罗朝盛

(杭州应用工程技术学院电机系 杭州 310012)

汪富泉

(四川师范学院数学系)

摘要 研究地震信息 CDP 记录的混沌与分形特征,通过数值计算,从 CDP 记录中提取其能量维数 D_f ,将其应用实际勘探剖面进行油气储的预测,结果与实际勘探情况符合得较好.

关键词 混沌 分形 维数 CDP 记录

中图分类号 P315.3 TE19

由于地质构造的十分复杂,非均质性和各向异性,在几何形态上呈强非线性特征,使得地震勘探记录出现非规则性的变化,有些部分振幅或频率变化缓慢,而某些部分振幅或频率变化激烈,即地震记录往往含有突变和局部奇异信号. 通过前期的研究工作表明^[1~3], 地震波曲线具有自仿射的分形特征. 笔者认为,仅靠传统的信号处理方法处理地震记录是不够的,必须寻找新的处理方法.

在石油勘探中,常常是需要对野外采集的地震记录数据进行各种处理,其中频谱分析是地震信息处理中一项十分重要的工作. 反射波与干挠波的频谱差异,在野外施工中可用于选择合适的激发条件,室内处理中可用于选择合适的滤波手段压制干挠,提高信噪比,频谱中包含的与地质构造和地层岩性有关的信息,可用于地震资料的地质解释. 本文将运用混沌与分形理论的方法处理地震信息,给出 CDP 记录的分形描述,并从 CDP 的频谱中求出其能量维数 D_f , 将它应用于实际勘探剖面,对含油气裂缝发育带进行预测,取得了较好的效果.

1 CDP 记录的特征及其分形描述

地震信号的振幅随时间变化的函数记作 $X(t)$. 在弹性介质理论中, 地震波是脉冲振动, 可用富氏积分展开为无限多个频率连续变化的简谐振动

$$X(t) = \int_{-\infty}^{\infty} A \cos(2\pi ft + \Psi) df \quad (1)$$

其中 $f = \omega/2\pi$ 为振动的频率, ω 为角频率, Ψ 为相位. 将信号 $X(t)$ 作富氏变换, 可得其频率表示

$$X(f) = \int_{-\infty}^{\infty} X(t) \cos(2\pi ft + \Psi) dt \quad (2)$$

这时得到振幅的连续谱.

在文献^[2,3]中, 运用系统动力学方法研究了 $X(t)$ 的吸引子维数 D_2 , 结果表明 $X(t)$ 的吸引子维数一般为非整数, 按照混沌系统的定量刻画^[4], $X(t)$ 的变化呈混沌性态. 对这类混沌振动, (2) 式给出的频谱将展示出噪声背景和宽峰且频谱连续. 另一方面, 这种混沌态中蕴藏着系统的自组织性, 例如标度不变性^[5,6]. 事实上, 标度不变性是地质学中的一个普遍现象^[7], 各种不同尺度下观测各种褶皱、断层、裂缝, 表现出的某种统计自相似性或自仿射性就属于这一标度范围, 这种地质特征反映到地震的振动图及频谱中, 也将具有统计自相似或自仿射性质, 从中提取出表征这些特征的参量, 它就包含了地质和油气构造的有关信息, 因此, 可作为油气预测的参数.

首先, 引入 Weierstrass – Mandelbrot 函数

$$X(t) = \sum \gamma^{(2-D)n} [1 - \exp(i\gamma^n t)] \exp(i\Psi_n) \quad (3)$$

来描述地震波的 CDP 记录. 这里对 n 求和是将地震波看成若干子波的叠加, 式中 D 为分维, $1 \leq D \leq 3$, Ψ_n 为任意相角, $\gamma^n (\gamma > 1)$ 构成 Weierstrass 频谱. 研究表明, Weierstrass – Mandelbrot 函数的功率谱 $A(k)$ 近似为一连续谱 (k 为波数), 该函数的频谱以几何级数而非算术级数的形式覆盖了整个波数域^[6,7], 因此, 这一模型描述了地震波的混沌性与自仿射性.

为了研究功率随频率的变化规律并求取预测参数, 再引入分数 Brown 运动来进一步分析, 考虑 CDP 记录增量 $X(t + \tau) - X(t)$ 的变化, 根据地层岩性的随机性, 可设它为一随机变量, 其分布满足:

$$P\left\{ \frac{X(t + \tau) - X(t)}{\tau^H} < r \right\} = F(r) \quad (4)$$

这里 τ 为时间延迟, r 为空间坐标, $0 < H < 1$ 为 Hurst 指数. 这是随机信号的分数 Brown 运动模型 ($H = 1/2$ 时为通常 Brown 运动), 它同样刻画了信号的混沌性与分形自仿射性.

下面推导谱能量对于频率(波数)的幂律依赖关系. 根据标度不变性, 并考虑地震波的物理衰减规律, 则:

$$P(r) = r^{d-D} \quad (5)$$

d 为信号所在欧氏空间的维数, 对地震记录曲线 $X(t)$ 本身, $d = 2$, 对于地震波的能量, $d = 3$, 因 τ 是时间域上信号的标度, 因此(5)又可写作

$$P = c\tau^{d-D} \quad c \text{ 为常数} \quad (6)$$

与(4)比较知, $H = d - D$, 随机变量 $X(t)$ 的均方值记作

$$V(\tau) = \langle [X(t + \tau) - X(t)]^2 \rangle \quad (7)$$

则由(4)、(6)、(7)得

$$V(\tau) \sim \tau^{2H} = \tau^{2(d-D)} \quad (8)$$

当 $0 < t < \tau$ 时, 类似于(2), 定义 $X(t)$ 的富氏变换

$$X(f, \tau) = \frac{1}{\tau} \int_0^\tau X(t) \exp(2\pi ift) dt \quad (9)$$

根据振动理论,其 CDP 记录频谱能量密度 $A(f)$,可写为:

$$A(f) \sim \tau X^2(f, \tau) \quad (10)$$

对高斯白噪声, $A(f) = \text{常数}$,在其它情形下,频谱能量密度有幂律关系

$$A(f) \sim f^{-\alpha} \quad (\alpha \text{ 为功率频指数}) \quad (11)$$

从而得到

$$A(f) \sim f^{-\alpha} \sim \tau^{\alpha} \sim \tau V \sim \tau^{2H+1} = \tau^{2(d-D)+1} \quad (12)$$

比较(11),(12)得

$$\alpha = 2(d - D) + 1, D = (2d - \alpha + 1)/2 \quad (13)$$

考虑地震波能量的变化时,令 $d = 3$,则 $1 \leq \alpha \leq 3, 1 \leq D \leq 3$ 它们反映了地震波振幅(或能量)的变化情况和标度不变性质. 根据不同地震道 α 和 D 值的变化,可对储集空间中孔隙、裂缝或孔洞的发育带或油气富集区做预测.

2 能量维 D_f 的计算方法

笔者对地震道的 CDP 记录 $X(t)$ 进行处理,每条地震道上选择位于碳酸盐岩中的 CDP 记录共 N 个数据,作离散快速富氏变换

$$X(n/NT) = \sum_{k=0}^{N-1} x(kT) \exp(-i2\pi nk/N) \quad n = 0, 1, \dots, N-1 \quad (14)$$

对计算结果进行回归表明,功率谱近似有下述关系

$$G = \|X(n/NT)\|^2 = cf^{-\alpha} \quad c \text{ 为常数} \quad (15)$$

式中 α 称为功率谱指数,在双对数坐标系中用最小二乘法拟合,即可求出 α .

设 D_f 表示地震波传播中的能量分维,则 D_f 与功率谱指数的关系为:

$$D_f = (7 - \alpha)/2 \quad (16)$$

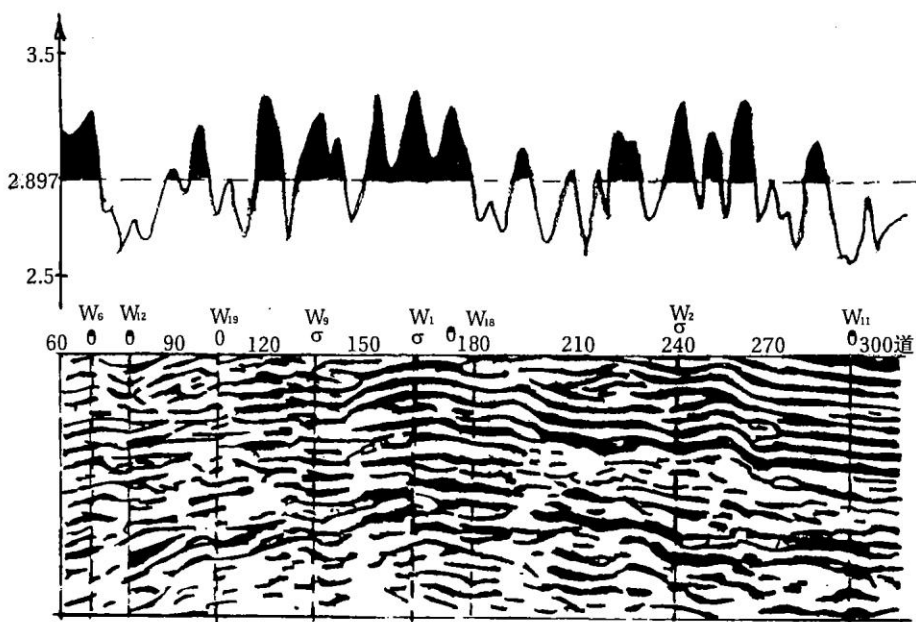
D_f 刻画了地震波传播过程中振幅(或能量)的衰减特性,包含了地质和油气构造的信息,可作为油气预测的一个参数.

3 应用实例与讨论

笔者选择了完钻的四川丹凤场气田联井 II 测线的地震记录进行处理. 该剖面长约 12Km,其上有 8 口已知钻井,在 1.2 ~ 1.4s 间有 P_1 层,是一套厚约 350m 的碳酸盐岩沉积. 主要储层在 $P_{13}^3 \sim P_{12}^3$, 厚约 70 ~ 80m. 其储集空间主要是由于构造和溶蚀作用产生的缝洞发育带,为典型的裂缝性气藏.

利用上述算法,对该剖面 CDP 记录的 60 ~ 300 道进行计算,求出每条地震道的 D_f 值. 以地震道号作为横坐标, D_f 作为纵坐标,绘成一条曲线. 结果,该曲线连续而不可微,振荡频繁,它反映了碳酸盐地质构造极不均质,变化激烈. 为便于预测,采用 5.3 次平滑算法对曲线做了 2 次平滑处理,结果如图 1 所示.

取井旁 CDP 记录的 D_f 值作 F 检验与 t 检验,再应用^[1]的方法求出检测临界值 $C = 2.897$,从而

图 1 地震道与 D_f 关系曲线及油气预测结果

得到判别准则: $D_f > 2.897$ 的区域可能为含油气裂缝发育带, 预测结果与实钻结果如表 1 所示

表 1 预测结果与实钻结果的比较

井号	W1	W2	W6	W9	W11	W12	W18	W19
预测结果	有	有	有	有	无	无	无	无
实钻结果	有	有	无	有	无	无	无	无

预测结果与实钻结果比较, 预测精度为 $7/8 = 87.5\%$, 其中被误判的井为 W6, 该井旁地震道能量维数 D_f 在临界值以上, 被判为有气, 而实钻结果为干井, 其原因可能在于这口井下部近邻有一巨大硬盘, 导致反射增强, 能量维数升高。

从图 1 可见, D_f 变化频繁, 曲线复杂, 说明地下非均匀性十分显著, 缝洞体分布很不规则。在一些未获气的已知钻井附近, 也出现 D_f 高值区, 但井位与 D 高值区有偏差, 如 W12, W18。这些结果为勘探开发决策者提供的启示是: 应改变只钻直眼井的决策, 而采取钻丛式井、斜井、水平井、聚能压裂等开发决策, 做老井的复活工作, 增加获气可能。

用上述方法, 笔者处理了四川合江九线和十线两个实勘地震剖面, 其预测精度都在 80% 以上。

笔者认为 CDP 记录的能量维数 D_f 可作为预测油气的一个重要参考指标。当然 D_f 并不是唯一的判据, D_f 的高值区未必一定含油气, 如 W6 井下邻近的硬盘也使 D_f 升高。但它毕竟从一个新的角度提供了很有意义的信息。同时还提出了其它的预测参数, 如 CDP 记录的关联(吸引子)维数^[2], Hurst 指数和容量维^[1]。它们都有较高的预测精度而且可以和 D_f 的预测结果互补。运用多种数理方法对地震信息进行处理, 并与其他地质参数综合预测, 将有利于勘探开发决策者做出正确的决策, 提高勘探开发效益。

本研究所使用的数据由四川石油管理局地质调查处提供, 其成果已通过四川石油管理局地质调查处组织的专家验收, 并应用于丹凤场、合江等 10 余个剖面处理, 均获得较好结果。

参 考 文 献

- 1 汪富泉,罗朝盛,高如曾 .Hurst 指数与容量维在油气检测中的应用 . 石油地球物理勘探,1996,31(2):184 ~ 189
- 2 汪富泉,罗朝盛,陈国先 . 关联维数在油气勘探中的应用 . 中国海上油气(地质),1992,16(6):61 ~ 67
- 3 罗朝盛,汪富泉 . 用拟测井曲线重建声测井曲线的算法及应用 . 计算物理,1998,15(3):363 ~ 366
- 4 .Wang F Q, Luo C S, Cheng G X. Quantitative Characterization of Chaos System and dynamical forecasting of gniun yield in China. ICSSSE'93. Beijing: International Academic Publishers, 1993. 602 ~ 605
- 5 董连科 . 分形理论及应用 . 沈阳:辽宁科技出版社,1991. 85 ~ 108
- 6 李后强,汪富泉 . 分形理论及其在分子科学在的应用 . 北京:科学出版社,1993. 135 ~ 187
- 7 Alder P M. Transport Process in Fractals. Phys Fluids,1986,29(1):15 ~ 24

The Energy Dimension of Seismic Information and The Application in Oil-Gas Exploration

Luo Chaosheng

(Dept. of Machinery and Electron, Hangzhou institute of Applied Engieering, Hangzhou 310012)

Wang Fuquan

(Dep. of Maths, Sichuan Teacher's College)

Abstract The chaotic and fractal characterization of the CDP record of seismic information are studied. We have extracted energy dimension D_f from the CDP record information by numerical computation and applied it to the real exploration section to forecast the oil-gas distribution, The results of forecasting accord every good with the real exploration.

Key words chaos fractal dimension CDP record